

عزل وتنميط سلالات محلية من طفيلي اللشمانيا المسببة لداء الجلدي وتقييم حساسيتها تجاه مركبات الأنتيموان الخامسة

مؤيد يزبك مرعي^{1*} شادي الياس سكريه² محمود الأخضر قوير³

1 طالب دكتوراه، قسم علم الحياة الحيوانية، جامعة دمشق
meriee1.mouayad@damascusuniversity.edu.sy

2 أستاذ مساعد في قسم علم الحياة الحيوانية، جامعة دمشق، علم الجنين الجزيئي
chadi.soukkarieh@damascusuniversity.edu.sy

3 أستاذ في قسم علم الحياة الحيوانية، جامعة دمشق، علم المناعة –
mahmoud.kweider@damascusuniversity.edu.sy

الملخص:

يُعد داء اللشمانيات الجلدي Cutaneous leishmaniasis (CL) أحد أهم الأمراض المستوطنة في الجمهورية العربية السورية، يسببه طفيلي وحيد خالي من جنس اللشمانيا Leishmania ينتقل إلى الإنسان عن طريق لدغة أنثى ذباب الرمل.

تُستخدم مركبات الأنتيموان الخامسة pentavalent antimony Sb(V) كخط أول في علاج هذا الداء منذ أكثر من سبعين عاماً، وسجل مؤخراً حدوث العديد من حالات الفشل العلاجي والانتكاسات السريرية مما يشير إلى ظهور وانتشار عزلات مقاومة لهذا الصنف الدوائي، وبالتالي أصبحت الحاجة ملحة لتوصيف العزلات المحلية المسببة لداء اللشمانيات الجلدي من حيث النوع ودرجة المقاومة لمركبات الأنتيموان الخامسة. وبناءً على ما سبق هدفت هذه الدراسة إلى عزل وتنميط طفيلييات اللشمانيا من مرضى مصابين بداء اللشمانيات الجلدي وتقييم حساسيتها تجاه مركبات الأنتيموان الخامسة بشكلها الدوائين الغلوكانتم والبنتوستام.

تم في هذه الدراسة عزل واستباثات أربع عزلات من اللشمانيا (L1 - L4) وتنميتها على المستوى الجزيئي بوساطة تقنية PCR-RFLP-ITS1 ومن ثم تحديد التركيز المثبط للنصف IC₅₀ لكل عزلة تجاه كل من الغلوكانتم والبنتوستام بعد 24 ساعة من المعالجة وذلك باستخدام مقاييسة (MTT). بينت نتائج التميظ الجزيئي أن جميع العزلات تعود لنوع *L. tropica*, وأظهرت قيم IC₅₀ لكل عزلة وجود اختلافات في درجة الحساسية الدوائية بين العزلات الأربع تجاه كل من الغلوكانتم والبنتوستام، كما أثبتت العزلات الأربع الترتيب نفسه من حيث درجة المقاومة لكلا المركبين الدوائين، إذ كانت العزلة الأكثر مقاومة للغلوكانتم هي نفسها الأكثر مقاومة للبنتوستام، وكذلك الأمر كانت العزلة الأقل مقاومة للغلوكانتم هي ذاتها الأقل مقاومة للبنتوستام. وأظهر مركب البنتوستام فعالية تشبيطية أعلى من مركب الغلوكانتم على جميع العزلات.

خلصت نتائج دراستنا إلى وجود تباين واضح بين السلالات المحلية العائدية لنوع *L. tropica* من حيث صفة المقاومة تجاه مركبات الأنتيموان الخامسة على اختلاف أشكالها الدوائية.

الكلمات المفتاحية: داء اللشمانيات الجلدي، اللشمانيا المدارية، مركبات الأنتيموان الخامسة، بنتوستام، غلوكانتم.

تاريخ الإيداع: 2023/11/26
تاريخ الموافقة: 2024/01/04



حقوق النشر: جامعة دمشق – سوريا، يحتفظ المؤلفون بحقوق النشر بموجب الترخيص
CC BY-NC-SA 04

Isolation, Typing and Susceptibility Evaluation of Local Isolates of *Leishmania* Parasite Causes Cutaneous Leishmaniasis Against Pentavalent Antimonials

Mouayad Yzbek Meriee^{1*} Chadi Elias Soukkarieh,²
Mahmoud Al-Akhdar Kweider³

(¹) PhD Student, department of Animal Biology, Faculty of Sciences, Damascus University, Syria meriee1.mouayad@damascusuniversity.edu.sy

(²) Assistant Professor, department of Animal Biology, Faculty of Sciences, Damascus University, Syria, chadi.soukkarieh@damascusuniversity.edu.sy

(³) Professor, department of Animal Biology, Faculty of Sciences, Damascus University, Syria, mahmoud.kweider@damascusuniversity.edu.sy

Abstract:

Cutaneous leishmaniasis (CL) is one of the most important endemic diseases in Syrian Arab Republic, (CL) is caused by a protozoan parasite of the genus *Leishmania* which is transmitted to human through the bite of sand fly female. The pentavalent antimony Sb(V) is the first-line treatment for more than 70 years. Recently, several cases of therapeutic failures and clinical relapses have been reported, and these cases indicate the emergence and spread of SbV-resistant strains, Therefore, it becomes necessary to characterize the local *Leishmania* strains depending on the species and the degree of response to antimonials. Based on previous facts, this study aimed to identify *Leishmania* strains isolated from CL patients and evaluate susceptibility of these clinical isolates towards each of glucantime and pentostam. This study was conducted with four cultures of *Leishmania* (L1 – L4) from patients with cutaneous ulcer, these isolates have been typed using the PCR-RFLP-ITS1 analysis, and the Half-maximal inhibitory concentration (IC50) was determined for each compound by conducting MTT viability assay for all isolates after treatment for 24 hours. The results of molecular typing showed that all isolates were *L. tropica*, and the values of IC50 revealed the different degrees of drug susceptibility towards each of glucantime and pentostam for all isolates, and each one of the four isolates had the same ranking towards each of the two drug compounds, The results also represented that the inhibitory rate of parasites treated with pentostam compared with glucantime was found to be significantly higher. In fact, based on our findings, There is a clear differences between local isolates of *L. tropica* species in terms of susceptibility against all forms of pentavalent antimony compounds.

Received :2023/11/26

Accepted:2024/01/04

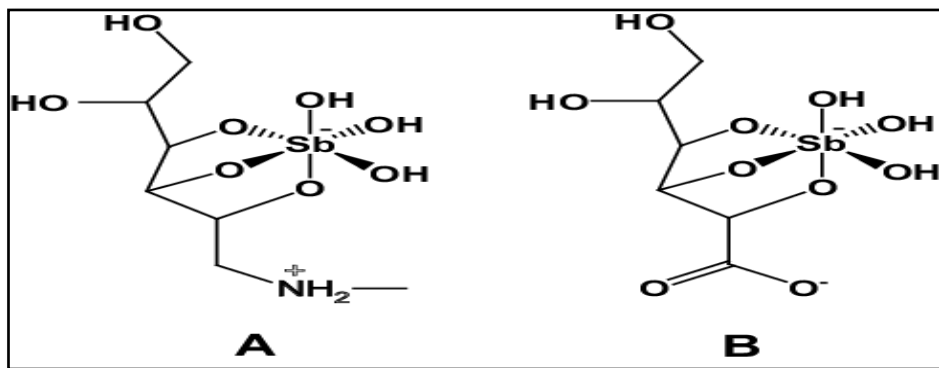


Copyright: Damascus University- Syria, The authors retain the copyright under a CC BY- NC-SA

Key words: Cutaneous leishmaniasis, *L. tropica*, pentavalent antimony, pentostam, glucantime.

1. المقدمة:

يعد داء اللشمانيات واحداً من أهم الأمراض الطفيلية انتشاراً حول العالم حيث يتوطن في أقاليم عدّة، تمتد من وسط آسيا عبر الشرق الأوسط، وجنوب أوروبا، وأفريقيا إلى أمريكا اللاتينية، حيث تشير تقديرات منظمة الصحة العالمية (WHO) إلى حدوث مليون إصابة جديدة سنوياً (WHO, 2023). يسبب داء اللشمانيات طفيلي وحيد خلية من جنس اللشمانيا *Leishmania*, تنقله إلى الإنسان أنثى ذبابة الرمل Sand fly الحاملة للطفلبي (Sasidharan & Saudagar, 2021)، ويتعاقب على دورة حياة طفيلي اللشمانيا شكلين إعashinen رئيسين هما الشكل أمامي السوط Promastigote، الذي يأخذ شكلاً متطاولاً مغزلياً ينبعش منه السوط، ويعيش هذا النمط داخل المضيف اللاقاري الناقل وفي أوساط الاستنبات عند درجة حرارة 26 مئوية، أما الشكل عديم السوط Amastigote، يأخذ شكلاً دائرياً أو بيضاوياً لا ينبعش منه السوط ويبقى ضمن حدود الخلية، ويعيش ضمن البالعات الكبيرة للمضيف الفقاري أو في أوساط الاستنبات عند درجة حرارة 37 مئوية (Naderer & McConville, 2008; Rubin-Bejerano et al., 2003). تسبب العديد من أنواع طفيلي اللشمانيا البشر، وتنوع التظاهرات السريرية لداء اللشمانيات بشكلٍ كبير، وتتراوح بين ظهور آفات جلدية قابلة للشفاء الذاتي وصولاً إلى التظاهرات المهددة للحياة (life-threatening) (Akhoundi et al., 2017)، إذ يُعرف لداء اللشمانيات ثلاثة أشكال سريرية تختلف عن بعضها البعض من حيث نوع الطفيلي المسبب ونوع النسيج المستهدف والأعراض المرضية، حيث بعد داء اللشمانيات الجلدي cutaneous leishmaniasis أكثرها انتشاراً وتوطناً في الشرق الأوسط وخصوصاً الجمهورية العربية السورية، ويسبه في أغلب الحالات النوعان *L. tropica* و *L. major* (Torres-Guerrero et al., 2017). تعتمد السيطرة على داء اللشمانيات على العلاج الكيميائي بشكل أساسى، وذلك في غياب اللقاح المناسب (Brandonisio & Spinelli, 2002)، حيث يقتصر الأدوية المستعملة في علاج الداء محدودة جداً بالمقارنة مع الانتشار الواسع للداء حول العالم، واقتصرت على زمرة دوائية قليلة أهمها مركبات الأنتيموان خماسية التكافؤ pentavalent antimonials التي تم تطبيقها سريرياً منذ عام 1940م خطأ أول في علاج داء اللشمانيات، بشكلها الدوائين: الغلوكانتم (Glucantime®) والبنتوستام (meglumine antimoniate) (sodium stibogluconate) Pentostam®، حيث يظهر الشكل (1) التركيب الكيميائي المقترن لكليهما (Frézard et al., 2013).



الشكل (1). البنية الكيميائية لمركبات الأنتيموان الخماسية. (A). غلوكانتم. (B). بنتوستام. (Frézard et al., 2008)

لا تزال آلية عمل مركبات الأنتيموان الخماسية تجاه طفيلي اللشمانيا غير واضحة بدقة وهناك عدة فرضيات لطبيعة الشكل النهائي الفعال لهذه المركبات ولآلية عملها في قتل الطفيلي (Frézard et al., 2013). فمثلاً تقترح إحدى الفرضيات اختزال الشكل الخماسي للانتيموان (V) Sb داخل المضيف الفقاري وداخل الطفيلي إلى الشكل الثلاثي (III) Sb(III) الذي يعد الشكل الأكثر سمية للطفلبي (Shaked-Mishan et al., 2001) وتسمى هذه الفرضية بنموذج طليعة الدواء Prodrug model، إذ يتم قبط الشكل الخماسي إلى داخل طفيلي اللشمانيا بشكل رئيس من خلال نمط خاص من القنوات التابعة إلى عائلة الأكوابورينات aquaporin family التي تسمح بعبور مواد منحلة solutes إضافة إلى الماء (AQP1 aquaglyceroporin) (Gourbal et al., 2004). بعد عبور (V) Sb

للغشاء الخلوي تقوم أربع أنواع من الشيلولات Thiol، منها الموجود داخل خلايا المضيف (خلايا الثدييات) وهي الغلوتاثيون (GSH) الموجود داخل العصارة الخلوية، والسيستين (Cys) والسيستين_غلايسين (Cys-Gly) الموجودة داخل ليزوزومات (Gainey *et al.*, 1996)، ومنها الموجود داخل خلايا الطفيلي كالتربيانوثيون (T(SH)2) (Fairlamb & Cerami, 1992) باختزال هذا الشكل الخماسي إلى الشكل (III) Sb(III) thiol-dependent reductase (TDR1) (Denton *et al.*, 2004) وذلك بمشاركة أنزيمين خاصين بالطفيلي هما (ACR2) antimoniate reductase (Zhou *et al.*, 2004) و (MRPA) ATP-binding cassette (ABC) (Wyllie *et al.*, 2004)، لتشكل نتيجة ذلك معقدات مستقرة من الشيلولات المرتبطة بالشكل الثلاثي Thiol-Sb(III) يتم عزلها داخل فجوة أو إخراجها عن طريق نواقل من عائلة (Légaré *et al.*, 2001; Mukhopadhyay *et al.*, 1996) multidrug resistance protein A (MRPA) يبشك خاص من قبل (MRPA) ينتج عن تشكيل هكذا معقدات انخفاض تركيز الشيلولات داخل طفيلي اللشمانيا مما يؤدي إلى زيادة حساسية الطفيلي للإجهاد التأكسدي (Wyllie *et al.*, 2004)، وتزداد هذه الحساسية مع ارتباط (Sb(III)) بالموقع الفعال لأنزيم اختزال التربيانوثيون TR مما يؤدي إلى تثبيطه وإلى زيادة إنتاج Reactive Oxygen Species (ROS) داخل الطفيلي (Frézard *et al.*, 2013) فتصبح الطفيليات حساسة للغاية تجاه الإجهاد التأكسدي (Beig *et al.*, 2015). كما يمكن للشكل (III) Sb(III) أن يحل مكان (Zn(II)) في بنية أحد أنماط عوامل الانتساخ المعروفة بإصبع الزنك zinc-finger مما يؤدي إلى عدم استقرار في بنية هذه العوامل وإلى خلل في وظائفها المتعددة، وينتج عن ذلك تغير في التعبير الجيني لعدد من الجينات الهامة التي تضبط هذه العوامل انتساخها مثل عائلة الكاسبارات (Caspases) (Bhandari *et al.*, 2011; Frézard *et al.*, 2009; Laity *et al.*, 2000) مما يؤدي إلى تحريض عملية استسماوات (apoptosis) الطفيلي (Leon & Roth, 2000).

بينما تقترح فرضية أخرى دوراً جوهرياً للأنتيموان الخماسي (V) Sb كشكل نهائي فعال وتسمى هذه الفرضية بنموذج الأنتيموان خماسي التكافؤ الفعال Active Sb(V) model، يضاف إلى الدور الذي يمكن أن يؤديه الشكل الثلاثي الفعال (III) Sb، ضد اللشمانيا من خلال تكوينه لمعقدات مع النكليوزيدات الرئيسية أحجار البناء الرئيسية للأحماض النووية Sb(V)-ribonucleoside وخصوصاً مع البيورينات SbV-purine إذ تعد هذه المعقدات شديدة السمية تجاه طفيلي اللشمانيا (Demicheli *et al.*, 2002; Demicheli *et al.*, 2009; Ferreira *et al.*, 2010) نظراً لاستنزافها للبيورينات وتنبيط ناقلاتها بالإضافة إلى تثبيط أنزيم التوبوايزوميراز من النمط الأول DNA topoisomerase type1 (Lucumi *et al.*, 2009; Frézard *et al.*, 2009) كأحد الأنزيمات الهامة في حادثة تصافع DNA الطفيلي (Walker & Saravia, 2004; et al., 1998). ومنذ عدة سنوات، تناولت التقارير عن مقاومة كبيرة تبديها الأنواع المختلفة من طفيليات اللشمانيا تجاه مركبات الأنتيموان الخماسي (Ashutosh *et al.*, 2007)، إذ أشارت العديد من التقارير إلى عدم استجابة الطفيلي للعلاج باستعمال هذه المركبات، أو إلى حدوث نكس سريع للمرضى المصابين حديثاً بعد بدء علاجهم بمركبات الأنتيموان، ويعزى ذلك إلى تطوير طفيلي اللشمانيا مقاومة تجاه هذه الأدوية (Sundar *et al.*, 2000). وصنفت الدراسة مقاومة طفيليات اللشمانيا لدواء معين إلى "طبيعية" أي إصابة المريض بسلالة مقاومة للعلاج أو مكتسبة، تظهر بعد تعرض طفاليات اللشمانيا لجرعات دوائية دون المستوى الأمثل للعلاج أو خلال فترة زمنية أقل مما تتطلبها الدورة العلاجية (Ponte-Sucre *et al.*, 2017).

أهمية البحث وأهدافه:

لوحظ في السنوات الأخيرة انتشار واسع لداء اللشمانيات الجلدي في جميع المحافظات السورية، حيث يعتقد حالياً وجود تغير في وبائيّة داء اللشمانيات في الجمهورية العربية السورية، وظهور اختلافات في النمط الظاهري بين سلالات النوع الواحد، لا سيما درجة الحساسية الدوائية إذ تسجل المعلومات الواردة من مراكز الرعاية الصحية في دمشق وجود زيادة في عدد الحالات غير النمطية إضافة إلى حدوث العديد من حالات الفشل العلاجي عند تطبيق أدوية الأنتيموان الخامسة. وعليه أصبح من المهم إجراء تقييم

مبذئي لمدى نجاعة البروتوكولات العلاجية المستخدمة حالياً في تبيير هذا الداء خصوصاً في ظل ندرة الدراسات حول المقاومة العلاجية لهذا الطفيلي في الجمهورية العربية السورية، ولذلك هدف هذا البحث إلى الحصول على عدد من عزلات طفيلي اللشمانيا المسبب للداء الجلدي في الجمهورية العربية السورية، وتحديد درجة الحساسية الدوائية لهذه العزلات تجاه الشكليين الدوائين الأكثر استعمالاً من مركبات الأنتيموان الخامسية، وهما الغلوكوناتيم والبنتوستام.

2. مواد البحث وطريقته:

تم إجراء هذا البحث في مختبر البحث (1) بقسم علم الحياة الحيوانية في كلية العلوم بجامعة دمشق، على النحو التالي:

1.2. جمع العينات:

عزلت الطفيلييات من الأفة مباشرة لمرضى مشخصين بداء اللشمانيات الجلدي ومبرجين لمركز العيادات الشاملة في منطقة الراحلة بدمشق بعد تأكيد الإصابة من خلال الفحص المجهرى المباشر لطاخة مأخوذة من مكان الإصابة وملونة بملون غيمزا.

2.2. استنباتات الطفيلي:

تم استنباتات الطفيلييات المعزولة من الآفات الجلدية مباشرة على وسط N.N.N، والمضاف له الصادين الحيويين (ستريتومايسين Streptomycin وبنسلين Penicillin) بتركيز 100 وحدة / مل، وحضرت المستنبات عند درجة حرارة 26 مئوية مع المراقبة اليومية بالمجهر المقلوب للتأكد من نمو الأشكال أمامية السوط Promastigote، ثم نقلت الطفيلييات المستنبطة بتركيز بدئي 6×10^6 إلى 5 ميلي من وسط زرع سائل RPMI-1640 (Sigma) مدعم بـ 10% من مصل البقر الجنيني fetal bovine serum (Sigma) L-glutamine منزوع المتممة بالتسخين، و 0.5 ملي مول من الغلوتامين (Sigma) حيث تم إجراء تقييم يومي للمستنبات الطفيليية من حيث العدد والشكل والنشاط بدءاً من طور الكمون مروراً بالطور اللوغاريتمي حتى الوصول إلى طور الاستباب حيث يكون تركيز الطفيلي في الوسط أعظمياً تمهدأ لاستخدامه في المراحل اللاحقة.

3.2. استخلاص DNA:

تم شفيل 3 ملي لتر من وسط الزرع السائل الحاوي على 19×10^6 طفيلي / ملي لتر بسرعة 3000 rpm عند درجة حرارة 4 مئوية ولمدة 8 دقائق، ثم أزيل السائل الطافي وغسل الراسب بدارئة ملحية فوسفاتية PBS ثم تم استخلاص DNA باستخدام طقم لاستخلاص DNA الجينومي وتنقيتها Wizard genomic DNA purification Kit;Promega (Wizard genomic DNA purification Kit;Promega)، حيث تم إتباع الخطوات المنصوص بها من قبل الشركة المصنعة. تم حساب تركيز DNA بوساطة مقياس المطیافية الضوئية Genova، وحفظ عند الدرجة 20 - 25 مئوية.

4. التبييت الجزيئي للطفيلي اللشمانيا بوساطة تقانة PCR-RFLP :

أجري تفاعل PCR باستعمال أنزيم Taq polymerase master mix 2X, GeneDrex ضمن طقم (master mix 2X, GeneDrex) على DNA المستفرد من العزلات الممزروعة بالإضافة إلى DNA المستفرد من سلالة مرجعية من اللشمانيا المدارية L.tropica (MHOM/SY/90/LEM2066) باستخدام Internal Transcribed Spacer-1 (ITS1) شفع من المرئات (LITSR / L5.8S) الخاصة بتضخيم المنطقة ITS1 من جينوم اللشمانيا، حيث يفصل هذا التسلسل المحافظ من النيكلويتيدات بين جينات rRNA المرمزة للوحدتين 18S و 5.8S ويعتمد عليه في التمييز الجزيئي للتمييز بين أنواع اللشمانيا المنتشرة في العالم القديم (El Tai et al., 2000; Van der Auwera & Dujardin, 2015).

الجدول (1). التسلسلات النيكلويتيدية للمرئات النوعية المستخدمة في تفاعل PCR

المرئية	التسلسل النيكلويتيد	حجم ناتج PCR (bp)
LITSR	5' -CTGGATCATTTCCGATG-3'	330
L5.8S	5' -TGATACCACTTATCGCACTT-3'	

حيث أجري تفاعل PCR ضمن الشروط الآتية: 5 دقائق في 95 °C ، 30 دقيقة في 94 °C ، 30 دقيقة في 95 °C ، 60 دقيقة في 72 °C و 6 دقائق في 72 °C. هضم بعدها 10 μl من كل ناتج تفاعل PCR بواسطة 0.5 μl من إنزيم التقييد HaeIII بتركيز 10 وحدة / ميكروлитر والذي يقطع ضمن التسلسل GG/CC حيث تم الحضن عند درجة الحرارة 37 °C لمدة 3 ساعات (Van der Auwera & Dujardin, 2015)، تم التأكيد من نواتج تفاعل PCR وناتج عملية الهضم بإنزيم التقييد بتقنية الرحلان الكهربائي الأفقي على هلامه الأغاروز بتركيز 1.5 % في دارئة رحلان من TBE وصبت الهراميد في قوالب خاصة بجهاز الرحلان (PeQlab) وأضيف الإيتديوم بروماید بتركيز نهائی قدره 0.5 μg/ml. مزجت العينات مع 2 μl من دارئة التحميل 6X Loading Buffer بتركيز نهائی قدره 1 μl. رحلت العينات ووسائل الأطوال المعيارية (GeneDirex DNA Ladder 50bp) بتطبيق تيار كهربائي قدره 100 فولت مدة 30 دقيقة. وكشفت عصائب DNA باستخدام منبع أشعة فوق البنفسجية قصيرة الموجة (Cleaver)، وونقت الهراميد باستخدام جهاز موثق الهراميد Gel Documentation مزود بآلية تصوير رقمية ذات مرشحة خاصة بالأشعة فوق البنفسجية.

5.2. حساب نسب التثبيط المئوية لطفيلي اللشمانيا باستخدام مقاييس MTT وتحديد قيم التراكيز المتبطة للنصف IC₅₀:

مقاييس MTT (4,5-Dimethylthiazol-2-yl)-2,5-Diphenyltetrazolium Bromide) هي اختبار قياس لوني لتقدير نشاط الخلايا الاستقلابي وعيوبيتها، تقوم فيه إنزيمات الأكسدة والاختلاف في الخلايا الحية بإرجاع أملاح التيترازوليوم الصفراء إلى مركب الفورمازان formazan ذو اللون البنفسجي، حيث تتاسب شدة اللون الناتج طرداً مع نسبة عيوبية الخلايا (Stockert et al., 2018)، تم قياس عيوبية طفيليات اللشمانيا أماممية السوط في الزجاج، بعد معالجتها بسلسلة من التراكيز المتدريجة التي تمت أمثلتها لكل مركب على حدة، باستخدام صفائح 96 بئر وحجم نهائی من وسط الزرع قدره 100 μl يحتوي تركيز معين من المادة الدوائية بالإضافة إلى عدد ثابت 8 × 10⁵ من طفيليات اللشمانيا في كل بئر، حيث تم الحضن لمدة 24 ساعة عند درجة حرارة 26 °C، بواقع مكررين لكل تركيز كما يوضح الجدول الآتي:

الجدول (2). التراكيز المستخدمة من مركب الأنثيموان الخامسي في كل من دوائي الغلوكانتم والبنتوستام

الغلوكانتم	الشاهد	البنتوستام	الشاهد	37.5 μg/ml	75 μg/ml	150 μg/ml
				10 μg/ml	20 μg/ml	40 μg/ml

بعد انتهاء الحضن أضيف لكل بئر 10 μl من محلول (MTT) وتم الحضن لمدة 3 ساعات عند درجة حرارة 26 °C، ثم قمنا بحل بلورات الفورمازان المتتشكلة بإضافة 100 μl من مادة (DMSO) لكل بئر مع المرج لمدة 10 دقائق، وقيس امتصاصية الآبار على جهاز مطياف ضوئي قارئ صفائح (Humareader®) عند طول موجة 540 nm، ثم تم حساب النسبة المئوية للتثبيط عند كل تركيز من خلال المعادلة التالية:

$$\text{نسبة التثبيط \%} = \frac{\text{امتصاصية الشاهد} - \text{امتصاصية العينة}}{\text{امتصاصية الشاهد}} \times 100$$

بالاعتماد على نسب التثبيط المئوية الناتجة تم حساب قيم IC₅₀ لكل مركب دوائي على كل عزلة من عزلات الطفيلي الأربع.

6.2. الدراسة الإحصائية:

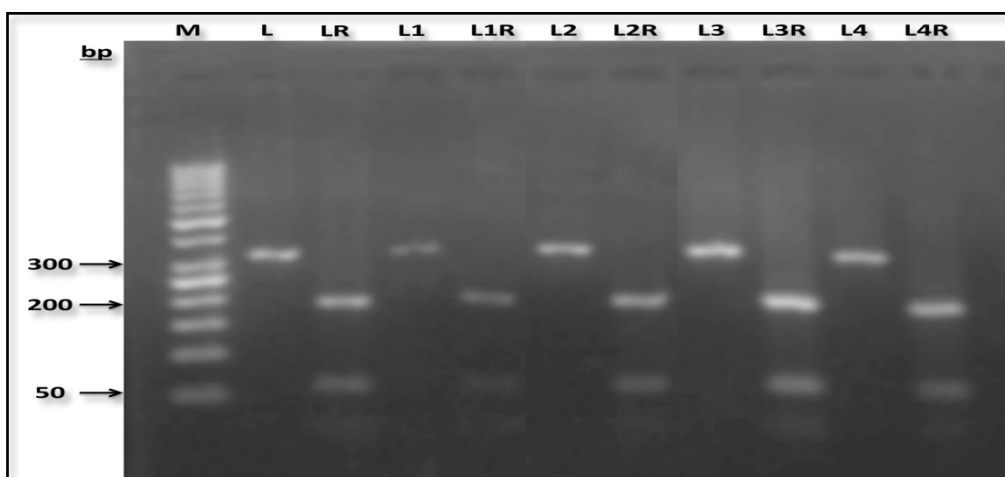
تم إجراء الدراسة الإحصائية باستخدام برنامج GraphPad Prism الإصدار (9.5.1) حيث تمت دراسة تأثير المتغير المستقل (تركيز المركب الدوائي) على المتغير التابع (نسبة التثبيط المئوية) في كل عزلة وعلاقة الارتباط بينهما وفق معامل بيرسون Pearson's R ومقارنة الاختلافات بين العزلات وفق اختبار تحليل التباين (ANOVA) واختبار توكي متعدد المقارنات Tukey's multiple comparisons test. كررت جميع التجارب ثلاثة مرات (n=3)، تم حساب قيم IC₅₀ من خلال رسم المنحني المناسب وفق نمط

الانحدار غير الخطى بتطبيق المعادلة الناتجة عن العلاقة log(inhibitor) vs. Normalized response - Variable slope - التعبير عن النتائج باحتساب المتوسط \pm الانحراف المعياري mean \pm SD، واعتبرت الاختلافات معنوية احصائياً عند $P<0.05$.

3. النتائج:

1.3. التنميط الجزيئي للطفيلي بواسطة PCR-RFLP :

نتج عن تفاعلات PCR المطبقة على DNA تركيزه 75 ng/ μ l مستقرد من العزلات الأربع والعزلة المرجعية *L. tropica* باستخدام المريستين (LITSR/L5.8S) عصابة واحدة طولها تقريباً 330 bp، وأظهرت عملية الهضم الكامل لنتائج PCR في كل العزلات المدروسة باستخدام أنزيم التقىيد HaeIII تماثل في طول وعدد الشدف الناتجة (200bp و60bp) بين العزلات الأربع وبشكل يتطابق مع السلالة المرجعية (MHOM/SY/90/LEM2066) ويتوافق مع المرجعيات مما يؤكد أن جميع العزلات التي تم عزلها من المرضى تعود لنوع *L. tropica* كما يظهر في ناتج الرحلان على هلامنة من الأغاروز 1.5% (2).



(2). صورة رحلان كهربائي على هلامنة من الأغاروز بتتركيز 1.5% لنتائج تفاعل PCR-RFLP باستخدام المريستين (LITSR/L5.8S) وأنزيم HaeIII على السلالة المرجعية L والعزلات الأربع التي عزلت من المرضى (L1-L4). تشير الرموز L, L1, L2, L3, L4 إلى نواتج تفاعل PCR دون هضم (عصابة واحدة بطول 330 bp) للسلالة المرجعية وللعزلات الأربع، بينما تشير الرموز LR, L1R, L2R, L3R, L4R إلى نواتج الهضم الكامل لتفاعل PCR (عصابتان بطول 200bp و60bp)، ويمثل M الواسط المعياري 50bp.

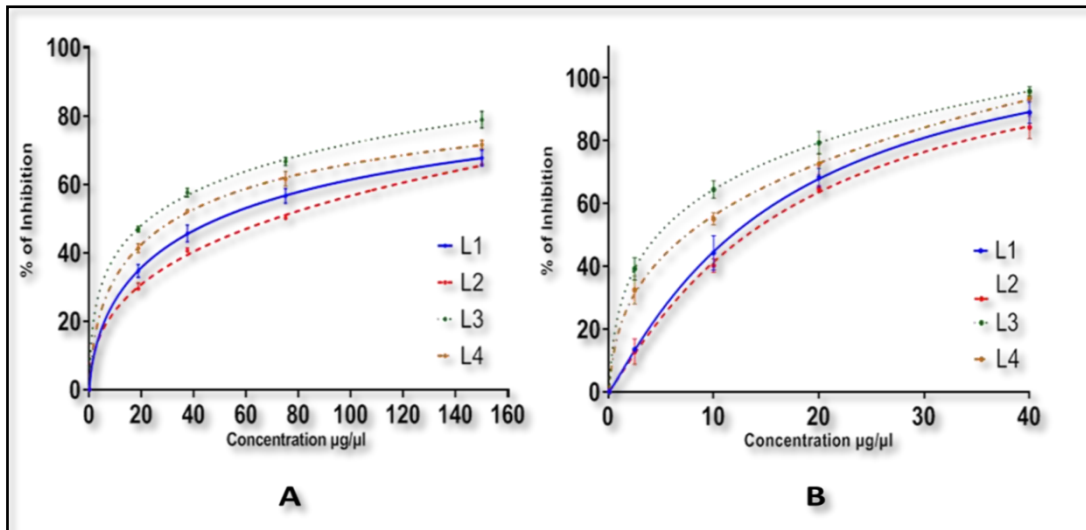
2.3. حساب نسبة تثبيط الطفيليات بمقاييسة MTT :

بالاعتماد على قيم الامتصاصية اللونية لمركب الفورمازان المنحل عند 24 ساعة من معالجة الأشكال أمامية السوط للطفيليات المستبطة بالمركبات الدوائية، تم حساب نسبة التثبيط المئوية للعزلات الطفيلية الأربع تجاه تدرج تراكيز كل من مركب الغلوكانتم ومركب البنتوستام كما يوضح الجدول (3).

الجدول (3). نسب التثبيط المئوية الناتجة عن معالجة طفيليات العزلات الأربع (L1-L4) بالمركبين الدوائيين غلوكانتم وبنتوستام

نسبة التثبيط %								
بنتوستام				غلوكانتم				
2.5 μ g/ μ l	10 μ g/ μ l	20 μ g/ μ l	40 μ g/ μ l	18.75 μ g/ μ l	37.5 μ g/ μ l	75 μ g/ μ l	150 μ g/ μ l	
13.437 \pm 0.685	44.220 \pm 5.450	68.230 \pm 2.929	88.990 \pm 3.470	34.697 \pm 1.868	45.630 \pm 2.449	56.580 \pm 2.139	67.700 \pm 2.298	L1
12.800 \pm 4.025	40.197 \pm 2.189	64.663 \pm 1.036	84.247 \pm 3.556	29.483 \pm 1.656	40.590 \pm 0.796	50.123 \pm 0.900	65.733 \pm 2.052	L2
39.173 \pm 3.563	64.413 \pm 2.755	79.317 \pm 3.555	95.767 \pm 1.486	46.900 \pm 0.774	57.577 \pm 1.235	66.683 \pm 1.156	78.853 \pm 2.425	L3
32.417 \pm 4.407	55.043 \pm 1.944	72.520 \pm 3.340	93.567 \pm 1.511	41.343 \pm 1.287	52.250 \pm 0.401	61.557 \pm 2.155	71.593 \pm 1.219	L4

عند دراسة علاقة الارتباط بين التراكيز المستعملة للمركبين الدوائيين ونسبة التثبيط المئوية لهذه التراكيز تبين وجود علاقة ارتباط إيجابية بين تدرج تراكيز كل من مركبي الغلوكاننتيم والبنتوستام من جهة وزيادة نسب التثبيط المئوية في العزلات الأربع من جهة أخرى، حيث كانت أقل قيمة لمعامل الارتباط بيرسون أعلى من 0.8 عند قيم معنوية $p < 0.05$ كما يظهر الشكل (3).



الشكل (3). المنحنيات البيانية الناتجة عن رسم العلاقة بين نسب التثبيط المئوية وتدرج تراكيز مركب الغلوكاننتيم (A) و مركب البنتوستام (B) للعزلات المحلية الأربع

يلخص الجدول (4) قيمة الجرعة المثبتة للنصف IC_{50} لكل عزلة مع كل مركب دوائي مرفقاً بالتحليلات الإحصائية الناتجة عند مستوى ثقة 95% باستخدام برنامج GraphPad Prism

الجدول (4). الجرعة المثبتة للنصف IC_{50} مقدرة بـ $\mu\text{g}/\mu\text{l}$ لكل عزلة من العزلات المحلية الأربع
أعطت العزلات (L1-L4) قيم IC_{50} حقيقية حيث وقعت ضمن مجال الثقة CI وفق معامل تحديد R^2 مرتفع

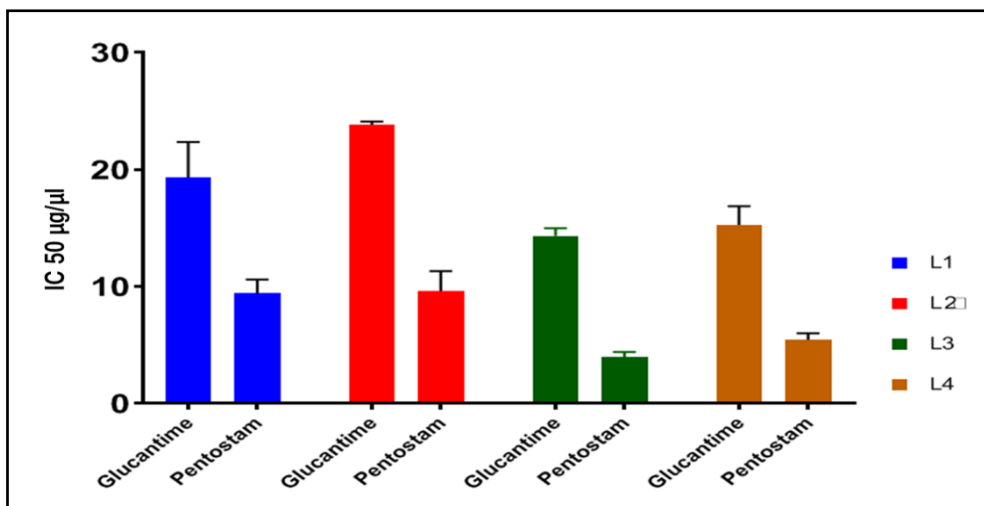
Isolates	IC_{50}	Confidence Intervals (CI)	R^2 value	
L1	19.350 ± 3.005	16.09 to 22.10	0.9853	غلوكاننتيم
	9.422 ± 1.195	7.930 to 10.81	0.9789	بنتوستام
L2	23.860 ± 0.259	19.90 to 27.68	0.9779	غلوكاننتيم
	9.615 ± 1.717	8.192 to 11.20	0.9782	بنتوستام
L3	14.337 ± 0.650	11.37 to 16.91	0.9893	غلوكاننتيم
	3.978 ± 0.450	3.170 to 4.874	0.9789	بنتوستام
L4	15.280 ± 1.592	12.81 to 17.58	0.9914	غلوكاننتيم
	5.456 ± 0.564	4.163 to 6.945	0.9643	بنتوستام

بين التحليل الإحصائي لقيم IC_{50} لمركب غلوكاننتيم باستعمال اختبار توكي متعدد المقارنات والذي تم بواسطته مقارنة هذه القيم التابعة لكل عزلة مع قيم العزلات الأخرى، وجود فروق معنوية بين مثنويات العزلات الآتية: (L1,L2) و(L3) و(L2,L3) و(L1,L2) و(L1,L4) بينما لم تظهر العزلتين L3 و L4 أي فروق معنوية بينهما. وأظهر تحليل إحصائي مماثل لقيم IC_{50} لمركب بنتوستام فروقاً معنوية بين مثنويات العزلات الآتية (L1,L3) و(L2,L4) و(L1,L4) و(L2,L3)، بينما لم تظهر مثنويات العزلات الآتية: (L1,L2) و(L3,L4) أي فروق معنوية بينها وذلك عند مستوى ثقة 95% كما يظهر في الجدول (5) الذي يلخص مجمل هذه النتائج.

الجدول (5). التحليل الاحصائي باستعمال اختبار توكي متعدد المقارنات Tukey's multiple comparisons test لبيان الدالة المعنوية عند مقارنة قيم IC₅₀ بين العزلات المختلفة لكل من المركبين الدوائيين غلوكانتم وبنتوستام

Tukey's multiple comparisons test	Mean Diff.	95.00% CI of diff.	Below threshold?	Summary	Adjusted P Value
Glucantime					
L1 vs. L2	-4.510	-7.911 to -1.109	Yes	**	0.0078
L1 vs. L3	5.013	1.612 to 8.414	Yes	**	0.0033
L1 vs. L4	4.070	0.6691 to 7.471	Yes	*	0.0165
L2 vs. L3	9.523	6.122 to 12.92	Yes	****	<0.0001
L2 vs. L4	8.580	5.179 to 11.98	Yes	****	<0.0001
L3 vs. L4	-0.9433	-4.344 to 2.458	No	ns	0.8563
Pentostam					
L1 vs. L2	-0.1930	-3.594 to 3.208	No	ns	0.9984
L1 vs. L3	5.444	2.043 to 8.845	Yes	**	0.0016
L1 vs. L4	3.966	0.5655 to 7.367	Yes	*	0.0196
L2 vs. L3	5.637	2.236 to 9.038	Yes	**	0.0011
L2 vs. L4	4.159	0.7585 to 7.560	Yes	*	0.0142
L3 vs. L4	-1.478	-4.879 to 1.923	No	ns	0.6097

بمقارنة حساسية العزلات الأربعه للمركبين الدوائيين الغلوكانتم والبنتوستام، أظهرت العزلات نفس الترتيب بدرجة الحساسية لكلا المركبين الدوائيين حيث تدرجت من الأقل حساسية (الأعلى مقاومة) إلى الأعلى حساسية (الأقل مقاومة) وفق التسلسل التالي L3 > L4 > L1 > L2، وبالعودة إلى قيم IC₅₀ يتبيّن أن مركب البنتوستام فعالية تثبيطية أكبر من مركب الغلوكانتم على جميع العزلات كما يظهر الشكل (4).



الشكل (4). مخطط مقارنة بين الغلوكانتم والبنتوستام يوضح الاختلاف في الفعالية التثبيطية لكل منها على كل عزلة من العزلات الأربعه استناداً إلى قيم IC₅₀

4. المناقشة:

يُستخدم الأنثيمولانات خماسية التكافؤ (V) Sb وعلى رأسها الغلوكانتم والبنتوستام كعلاجات الخط الأول لداء اللشمانيات، وذلك إما بمفردها وإما بالمشاركة مع أدوية الخط الثاني مثل الأمفوتريسين ب، وميلتفوسين في بعض الحالات، وفي حالات أخرى بالمشاركة مع العلاج بالتبريد cryotherapy (Aronson *et al.*, 2016)، حيث تواجه الجوانب العلاجية لهذه المركبات الآن تحديات كبيرة بسبب المقاومة السريرية التي ظهرت في جميع أنحاء العالم تجاه المعالجة باستعمال هذه الأدوية، وتجلى هذه المقاومة بكثرة الحالات غير النمطية للداء وكثرة الحالات الناكسة بعد الشفاء الظاهر (Sundar *et al.*, 2000). بيّنت العديد من التقارير حول العالم أن درجة حساسية العزلات المختلفة من طفيلي الليشمانيا والتابعة لنوع الواحد والتي يمكن أن تعزل من منطقة جغرافية واحدة تختلف

تجاه مركب دوائي معين، كما أنه لا يمكن تصنيف العزلات بين حساسة ومقاومة للدواء فقط بل أن درجة الحساسية أو المقاومة تختلف باختلاف العزلة، وبالتالي هناك طيف واسع من الحساسية أو المقاومة للسلالات المختلفة التابعة لنوع واحد (Sasidharan et al., 2021). تؤكد هذه المعطيات على أن اختلاف نجاعة العلاج التي سجلت وتنسج في كثير من دول العالم بين المرضى، لا يعود فقط إلى الاختلافات الفردية للمرضى (الاستجابة المناعية والخلفية الجينية) وإنما لنمط سلالة الطفيلي المسبب للداء أيضاً (Hadighi et al., 2007)، حيث ظهر التنوّع في مقاومة مركبات الأنتيموان الخامسة عند مقارنة قيم IC₅₀ بين العزلات المحلية التابعة لنوع *L. tropica* (بين كل عزلتين على حدة)، إذ أعطت معظم المقارنات لهذه القيم في كلا المجموعتين الدوائيتين فروقات ذات دلالة معنوية، كما أن التأثير المثبط لكل مركب دوائي على حدة كان متغيراً بشكل واضح بين العزلات المختلفة، حيث أظهرت قيم IC₅₀ أن العزلة الأكثر مقاومة للدوائين هي L2 والأقل مقاومة هي L3، وكان هذا الفرق في قيم IC₅₀ بين هاتين العزلتين 1.66 ضعف للغلوكانتم 2.42 ضعف للبنتوستام. إن هذا التناول في درجة الحساسية للدواء بين عزلات طفيلي اللشمانيا التابعة لنوع *L. tropica* والمعزلة من مرضي غير معالجين سابقاً بمركبات الأنتيموان تعود إلى مقاومة أولية لمركبات الأنتيموان والتي تُعد صفة طبيعية خاصة بكل عزلة، والتي يمكن أن تظهر أو أن تتبع بدرجتها نتيجة الضغط الإصطفائي الذي تعرّض له عند معالجة المصابين بمركبات الأنتيموان الخامسة وخصوصاً بجرعات دوائية منخفضة أو بدورات علاجية غير كاملة (Ponte-Sucre et al., 2017) مما يجعل الفرصة متاحة أمام طفيلي اللشمانيا لتطوير مقاومة عن طريق اللجوء إلى آليات مختلفة يتضمن بعضها إجراء تعديلات على المستوى الجينومي من خلال حدوث تغيرات في تسلسل DNA لجينات محددة، أو مضاعفة وتكرار الجينات الضرورية لمعاوضة الأنزيمات المستهدفة مثل TDR1 وACR2 أو على مستوى التعبير الجيني وبالتالي زيادة التعبير عن البروتينات والنواقل المسؤولة عن ضخ الأنتيموان خارج الطفيلي مثل MDR1 وMRPA أو خفض التعبير الجيني عن البروتينات المسؤولة عن قبط المركب الدوائي مثل بروتين AQP1)، بالإضافة إلى تعديلات على المستوى الاستقلابي مثل ارتفاع مستويات الثيول داخل الخلايا للحماية من الإجهاد التأكسدي (Ashutosh et al., 2007; Decuypere et al., 2005; Jedd et al., 2011). تشير التقارير أن المقاومة الأولية تظهر بشكل أساسى في المناطق التي تنتشر فيها أنواع طفيلي اللشمانيا ذات دورة الحياة البشرية anthropontotic التي لا تتطلب مضيف غير الإنسان، مما ينتج عنه تعريض الطفيلي لضغط دوائي لفترة زمنية أطول مقارنة مع الأنواع ذات دورة الحياة التي تشارك فيها الحيوانات zoonotic مثل القوارض (Aït-Oudhia et al., 2011). حيث من المعروف أن طفيلي اللشمانيا *L. tropica* المنتشر في الجمهورية العربية السورية والمسبب الرئيسي للداء الجلدي، تنتقل من إنسان إلى آخر بشكل أساسى عن طريق لدغة أنثى ذبابة الرمل دون المرور بمضيف خازن حيواني لذلك يمكن لطفيليات هذا النوع أن تطور مقاومة تجاه المركبات الدوائية الأكثر استعمالاً بسهولة أكبر من طفيلييات الأنواع الأخرى (Al-Nahhas & Kaldas, 2013). لوحظ في هذه الدراسة اصطفاف العزلات الأربع المدرosa وفق الترتيبية نفسها من حيث درجة الحساسية الدوائية تجاه كل من الغلوكانتم والبنتوستام، فعندما اختبرت حساسية الأشكال أمامية السوط المستحبة في الزجاج لهذه العزلات تجاه المركبين الدوائيين سابقى الذكر كانت طفيلييات العزلة L2 الأكثر مقاومة تلتها طفيلييات العزلات L1 ومن ثم L4 وأخيراً L3، تشير هذه المعطيات إلى وجود مقاومة متصالبة-cross resistant للعزلات المحلية التابعة لنوع *L. tropica* تجاه كلا المركبين الدوائيين، حيث أكدت عدة دراسات اختبرت حساسية الشكل عدم السوط amastigote لأنواع مختلفة من طفيلي اللشمانيا أن السلالات المقاومة للغلوكانتم أبدت مقاومة متصالبة للبنتوستام (Ephros et al., 1999 Hadighi et al., 2007;)، على اعتبار أن كلا المركبين ينتهيان إلى نفس الزمرة الدوائية (أملاح الأنتيموان الخامسة) مما يشير إلى أن آليات المقاومة عند طفيلي اللشمانيا موجهة بشكل أساسى تجاه شاردة الأنتيموان (Hadighi et al., 2007).

كان من المثير للاهتمام في هذه الدراسة عند المقارنة بين فعالية مركبي الغلوكانتم والبنتوستام من حيث الجرعة المثبتة للنصف لكل سلالة على حدة وجود فروق واضحة في الفعالية التثبيطية، وذلك عند معالجة الأشكال أمامية السوط المستحبة في الزجاج، إذ كان البنتوستام أكثر قدرة تثبيطية على نمو هذه الأشكال من الغلوكانتم بـ 2.1 إلى 3.6 ضعف، وهو ما يتوافق مع نتائج دراسة

أجريت في تركيا لتقييم فعالية الأدوية المستخدمة في تدبير داء اللشمانيات الجلدي على سلالات مقاومة من اللشمانيا المدارية معزولة من مرضى غير مستجيبين للعلاج بمركبات الأنتموان الخامسية حيث كانت الفعالية السامة الخلوية (القدرة التثبيطية) لمركب البنتوستام على الأشكال أمامية السوط المستتبة في الزجاج أعلى من مركب الغلوكانتم (Özbilgin *et al.*, 2020)، على النقيض من ذلك بينت دراسة سريرية أجريت على مرضى مصابين بداء اللشمانيات الجلدي أن تطبيق الغلوكانتم داخل الأفة يعطي معدلات شفاء أعلى مقارنة بالبنتوستام وذلك بغض النظر عن الجنس والعمر ومكان الأفة (Yesilova *et al.*, 2016). ويمكن أن يفسر سبب اختلاف النتائج بين الدراسات باختلاف تصميم التجربة الذي يمكن أن يغير بشكل كبير من النتائج (دراسة المقاومة على الطفيليات المعزولة والمستتبة في الزجاج أو ضمن الأفة في الكائن الحي)، كما تختلف التأثيرات السمية لكل من المركبين الدوائيين باختلاف شكل الطفيلي (أمامي السوط أو عديم السوط)، ويمكن أن تعزى الاختلافات في التأثير الدوائي للمركبين إلى الاختلافات الدقيقة في طريقة تحضير غلوكانات الصوديوم (البنتوستام) وميغلومين الأنتموان (الغلوكانتم) لا سيما درجة بلمرتها التي قد تحدث فرقاً ملحوظاً في الفعالية المضادة للشمانيا (Roberts *et al.*, 1998)، كما أن احتواء البنتوستام على مادة كلوروكريسول chlorocresol التي تضاف عند تحضيره والتي تتصف بتأثير سام على طفيلي اللشمانيا والتي قد تؤدي دوراً تآزرياً مع غلوكانات الصوديوم ينتج عنه فعالية تثبيطية أكبر للبنتوستام مقارنة مع مركب الغلوكانتم (Ephros *et al.*, 1999; Jeddi *et al.*, 2011). تشير نتائج هذه الدراسة إلى اختلاف حساسية العزلات المحلية التابعة النوع *L. tropica* والمسببة للداء الجلدي للمركبات الدوائية الأكثر استعمالاً في العلاج وهي مركبات الأنتموان الخامسية مما يشير إلى ضرورة تعديل الاستراتيجيات العلاجية بما فيها فترة العلاج وكمية الجرعة الدوائية بما يتاسب مع كل حالة على حدة، الأمر الذي سيخفض المقاومة للعلاج ويقلل حالات النكس مما سيؤدي إلى سيطرة أفضل على الداء وصولاً إلى مكافحته والحد من انتشاره.

5. الاستنتاجات:

- جميع الاصابات بداء الليشمانيات الجلدي في هذه الدراسة نتجت عن النوع *L. tropica*.
- وجود فروق واضحة في درجة الحساسية الدوائية بين العزلات المحلية تجاه مركبات الأنتموان الخامسية.
- يمتلك مركب بنتوستام فعالية تثبيطية أعلى من مركب الغلوكانتم على الأشكال أمامية السوط لطفيلي اللشمانيا المدارية.

6.المراجع:

1. Aït-Oudhia, K., Gazanion, E., Vergnes, B., *et al.* (2011). *Leishmania* antimony resistance: what we know what we can learn from the field. *Parasitology research*, 109, 1225-1232 .
2. Akhouni, M., Downing, T., Votýpka, J., *et al.* (2017). *Leishmania* infections :Molecular targets and diagnosis. *Molecular aspects of medicine*, 57, 1-29 .
3. Aronson, N., Herwaldt, B. L., Libman, *et al.* (2016). *Diagnosis and treatment of leishmaniasis: clinical practice guidelines by the Infectious Diseases Society of America (IDSA) and the American Society of Tropical Medicine and Hygiene (ASTMH)*. *Clinical infectious diseases*, 63(12), e202-e264.
4. Al-Nahhas, S. A., & Kaldas, R. M. (2013). Characterization of *Leishmania* species isolated from cutaneous human samples from central region of Syria by RFLP analysis. *International Scholarly Research Notices*, 2013 .
5. Ashutosh, Sundar, S., & Goyal, N. (2007). Molecular mechanisms of antimony resistance in *Leishmania*. *Journal of medical microbiology*, 56(2), 143-153 .
6. Beig, M., Oellien, F., Garoff, L., *et al.* (2015). Trypanothione reductase: a target protein for a combined in vitro and in silico screening approach. *PLoS neglected tropical diseases*, 9(6), e0003773 .
7. Bhandari, D., Guha, K., Bhaduri, N., *et al.* (2011). Ubiquitination of mRNA cycling sequence binding protein from *Leishmania donovani* (LdCSBP) modulates the RNA endonuclease activity of its Smr domain. *FEBS letters*, 585(5), 809-813 .
8. Brandonisio, O., & Spinelli, R. (2002). Immune response to parasitic infections-an introduction. *Current Drug Targets-Immune, Endocrine & Metabolic Disorders*, 2(3), 193-199 .
9. Chargui, N., Amro, A., Haouas, N., *et al.* (2009). Population structure of Tunisian *Leishmania infantum* and evidence for the existence of hybrids and gene flow between genetically different populations. *International Journal for Parasitology*, 39(7), 801-811 .
10. Decuyper, S., Rijal, S., Yardley, V., *et al.* (2005). Gene expression analysis of the mechanism of natural Sb (V) resistance in *Leishmania donovani* isolates from Nepal. *Antimicrobial Agents and Chemotherapy*, 49(11), 4616-4621.
11. Demicheli, C., Frézard, F., Lecouvey, M., *et al.* (2002). Antimony (V) complex formation with adenine nucleosides in aqueous solution. *Biochimica et Biophysica Acta (BBA)-General Subjects*, 1570(3), 192-198 .
12. Demicheli, C., Santos, L. S., Ferreira, C .S., *et al.* (2006). Synthesis and characterization of Sb (V)–adenosine and Sb (V)–guanosine complexes in aqueous solution. *Inorganica Chimica Acta*, 359(1), 159-167 .
13. Denton, H., McGREGOR, J. C., & Coombs, G. H. (2004). Reduction of anti-leishmanial pentavalent antimonial drugs by a parasite-specific thiol-dependent reductase, TDR1. *Biochemical Journal*, 381(2), 405-412 .
14. El Tai, N., Osman, O., El Fari, M., *et al.* (2000). Genetic heterogeneity of ribosomal internal transcribed spacer in clinical samples of *Leishmania donovani* spotted on filter paper as revealed by single-strand conformation polymorphisms and sequencing. *Transactions of the Royal Society of Tropical Medicine and Hygiene*, 94(5), 575-579 .
15. Ephros, M., Bitnun, A., Shaked, P., *et al.* (1999). Stage-specific activity of pentavalent antimony against *Leishmania donovani* axenic amastigotes. *Antimicrobial Agents and Chemotherapy*, 43(2), 278-282 .
16. Fairlamb, A. H., & Cerami, A. (1992). Metabolism and functions of trypanothione in the Kinetoplastida. *Annual review of microbiology*, 46(1), 695-729 .
17. Ferreira, C. S., Rocha, I., M Neto, R. L., *et al.* (2010). Influence of the nucleobase on the physicochemical characteristics and biological activities of SbV-ribonucleoside complexes. *Journal of the Brazilian Chemical Society*, 21, 1258-1265 .
18. Frezard, F., Demicheli, C., Kato, K. C., *et al.* (2013). Chemistry of antimony-based drugs in biological systems and studies of their mechanism of action. *Reviews in Inorganic Chemistry*, 33(1), 1-12 .
19. Frézard, F., Demicheli, C., & Ribeiro, R. R. (2009). Pentavalent antimonials: new perspectives for old drugs. *Molecules*, 14(7), 2317-2336 .
20. Frézard, F., Martins, P. S., Barbosa, M. C., *et al.* (2008). New insights into the chemical structure and composition of the pentavalent antimonial drugs, meglumine antimonate and sodium stibogluconate. *Journal of inorganic biochemistry*, 102(4), 656-665 .

21. Gainey, D., Short, S., & McCoy, K. L. (1996). Intracellular location of cysteine transport activity correlates with productive processing of antigen disulfide. *Journal of cellular physiology*, 168(2), 248-254 .
22. Gourbal, B., Sonuc, N., Bhattacharjee, H., et al. (2004). Drug uptake and modulation of drug resistance in *Leishmania* by an aquaglyceroporin. *Journal of Biological Chemistry*, 279(30), 31010-31017
23. Hadighi, R., Boucher, P., Khamesipour, A., et al. (2007). Glucantime-resistant *Leishmania tropica* isolated from Iranian patients with cutaneous leishmaniasis are sensitive to alternative antileishmania drugs. *Parasitology research*, 101, 1319-1322.
24. Hide, M., Marion, E., Pomares, C., et al. (2013). Parasitic genotypes appear to differ in leishmaniasis patients compared with asymptomatic related carriers. *International Journal for Parasitology*, 43(5), 389-397 .
25. Jeddi, F., Piarroux, R., & Mary, C. (2011). Antimony resistance in *Leishmania*, focusing on experimental research. *Journal of tropical medicine*, 2011 .
26. Laity, J. H., Lee, B. M., & Wright, P. E. (2001). Zinc finger proteins: new insights into structural and functional diversity. *Current opinion in structural biology*, 11(1), 39-46 .
27. Légaré, D., Richard, D., Mukhopadhyay, R., et al. (2001). The *Leishmania* ATP-binding cassette protein PGPA is an intracellular metal-thiol transporter ATPase. *Journal of Biological Chemistry*, 276(28), 26301--26307
28. Leon, O., & Roth, M. (2000). Zinc fingers: DNA binding and protein-protein interactions. *Biological research*, 33(1), 21-30 .
29. Lucumi, A., Robledo, S., Gama, V., et al. (1998). Sensitivity of *Leishmania viannia panamensis* to pentavalent antimony is correlated with the formation of cleavable DNA-protein complexes. *Antimicrobial Agents and Chemotherapy*, 42(8), 1990-1995 .
30. Mukhopadhyay, R., Dey, S., Xu, N., et al. (1996). Trypanothione overproduction and resistance to antimonials and arsenicals in *Leishmania*. *Proceedings of the National Academy of Sciences*, 93(19), 10383-10387 .
31. Naderer, T., & McConville, M. J. (2008). The *Leishmania*-macrophage interaction: a metabolic perspective. *Cellular microbiology*, 10(2), 301-308 .
32. Organization, W. H. (2023). *Determining discriminating concentrations of insecticides for monitoring resistance in sand flies: report of a multi-centre laboratory study and WHO expert consultations*: World Health Organization.
33. Özbilgin, A., Çavuş, İ., Kaya, T., et al. (2020). Comparison of in vitro resistance of wild *leishmania* isolates, which are resistant to pentavalent antimonial compounds, against drugs used in the treatment of leishmaniasis. *Turkiye parazitoloji dergisi*, 44(1), 12-16 .
34. Ponte-Sucre, A., Gamarro, F., Dujardin, J.-C .et al. (2017). Drug resistance and treatment failure in leishmaniasis: A 21st century challenge. *PLoS neglected tropical diseases*, 11(12), e0006052 .
35. Roberts, W. L., McMurray, W. J., & Rainey, P. M. (1998). Characterization of the antimonial antileishmanial agent meglumine antimonate (glucantime). *Antimicrobial Agents and Chemotherapy*, 42(5), 1076-1082 .
36. Rubin-Bejerano, I., Fraser, I., Grisafi, P., et al. (2003). Phagocytosis by neutrophils induces an amino acid deprivation response in *Saccharomyces cerevisiae* and *Candida albicans*. *Proceedings of the National Academy of Sciences*, 100(19), 11007-11012 .
37. Sasidharan, S., & Saudagar, P. (2021). Leishmaniasis: where are we and where are we heading? *Parasitology research*, 120, 1541-1554 .
38. Shaked-Mishan, P., Ulrich, N., Ephros, M., et al. (2001). Novel intracellular SbV reducing activity correlates with antimony susceptibility in *Leishmania donovani*. *Journal of Biological Chemistry*, 276(6), 3971-3976 .
39. Stockert, J. C., Horobin, R. W., Colombo, L. L., et al. (2018) Tetrazolium salts and formazan products in Cell Biology: Viability assessment, fluorescence imaging, and labeling perspectives. *Acta histochemica*, 120(3), 159-167 .
40. Sundar, S., More, D. K., Singh, M. K., et al. (2000). Failure of pentavalent antimony in visceral leishmaniasis in India: report from the center of the Indian epidemic. *Clinical infectious diseases*, 31(4), 1104-1107 .
41. Torres-Guerrero, E., Quintanilla-Cedillo, M. R., Ruiz-Esmenjaud, J., et al. (2017). Leishmaniasis: a review. *F1000Research*, 6 .

42. Van der Auwera, G., & Dujardin, J.-C. (2015). Species typing in dermal leishmaniasis. *Clinical microbiology reviews*, 28(2), 265-294 .
43. Walker, J., & Saravia, N. G. (2004). Inhibition of *Leishmania donovani* promastigote DNA topoisomerase I and human monocyte DNA topoisomerases I and II by antimonial drugs and classical antitopoisomerase agents. *Journal of parasitology*, 90(5), 1155-1162 .
44. Wyllie, S., Cunningham, M. L., & Fairlamb, A. H. (2004). Dual action of antimonial drugs on thiol redox metabolism in the human pathogen *Leishmania donovani*. *Journal of Biological Chemistry*, 279(38), 39925-39932 .
45. Yesilova, Y., Surucu, H. A., Ardic, N., et al. (2016). Meglumine antimoniate is more effective than sodium stibogluconate in the treatment of cutaneous leishmaniasis. *Journal of Dermatological Treatment*, 27(1), 83-87 .
46. Zhou, Y., Messier, N., Ouellette, M., et al. (2004). *Leishmania major* LmACR2 is a pentavalent antimony reductase that confers sensitivity to the drug pentostam. *Journal of Biological Chemistry*, 279(36), 37445-37451 .